

波の統計量に及ぼす非線形性の影響 —主として数値シミュレーションを用いた解析—

小松崎泰光*・加藤 始**・信岡 尚道***

1. 緒 言

波の統計理論は、従来定常ガウス過程を前提とした線形理論で構築されてきた。しかし、実際の波には非線形の性質があり、不規則な水位波形の頻度分布が正規分布からずれる現象（図-1）や周波数スペクトルの低周波・高周波側の増大など多様な現象として現れる。従来、波の統計量の研究は、一般的に非線形性の弱い現地波浪観測データや線形数値シミュレーションを使って行われてきた。そのため、波の統計量に及ぼす非線形性の影響についてはあまり解明されていない。また、加藤ら（1999）は、波のスペクトルを基にした波浪の統計量の特性に関する研究において、風洞水路の幅が風波の非線形性に影響するのではないかと指摘している。

本研究においては、2次の非線形性を考慮した一方向不規則波シミュレーションを行って各種統計量を算出し、従来の線形理論における統計量と比較することによって、波の統計量に及ぼす非線形性の影響について明らかにすることを目的とする。さらに、方向分散を考慮した多方向非線形不規則波シミュレーションを行うことにより、方向分散が波の非線形性に及ぼす影響についても検討する。

2. 波の統計量と非線形性を表すパラメター

2.1 水位に関する統計量

波の統計理論は水位の確率分布が正規分布で表わされるという前提に基づいているが、実際の海の波は正規分布からややひずんだ形をしている（図-1）。こうした分布形のひずみを表わす指標としては skewness (歪み度) があり、波の上昇量を η とすると、

$$\text{skewness} = \frac{1}{\eta_{\text{rms}}^3} \frac{1}{N} \sum_{i=1}^N (\eta_i - \bar{\eta})^3 \quad \dots \dots \dots \quad (1)$$

で表される。線形波の場合、skewness=0である。波の非線形性が強くなると、波の峰が尖って谷がなだらかになるため、分布形は上下非対称になり、その値は0より大きくなる。

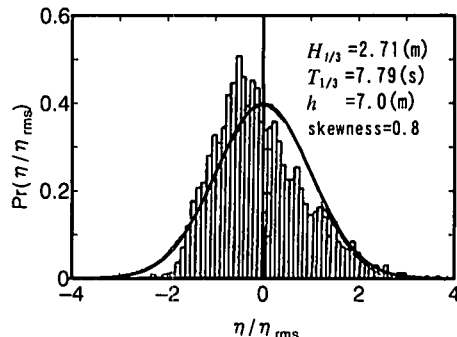


図-1 表面波形の頻度分布の観測例（角野ら, 1986）

きくなる。そのため、skewness は水面波形の非線形性を示す指標として用いられている。

また、Goda (1983) は水面波形の非線形性を表わすものとして次式の $\Pi_{1/3}$ を提案し、この値が大きくなるほど非線形性が強まるこことを示した。

$$\prod_{1/3} = (H_{1/3}/L_A) \cot^3(k_A h) \dots \quad (2)$$

ここで、 L_A は有義波周期に対応する微小振幅波の波長、 k_A はその波数、 h は水深である。

2.2 周期に関する統計量

波の線形性を前提とした Rice の理論によると、波形から計算した波の平均周期 T_M とスペクトルモーメントから求めた周期 T_{02} は次のように関係づけられる。

$$T_{02}/T_M = 1.0 \quad \dots \dots \dots \quad (3)$$

二二七

$$T_{02} = \sqrt{m_0/m_2} \dots \dots \dots \quad (4)$$

で、 m_0 , m_2 は波の周波数スペクトル $S(f)$ のモーメントとして次式で与えられる。

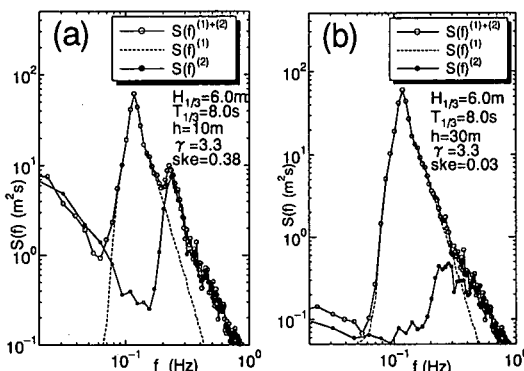
しかし、Rice の理論は実際の海で厳密には成り立たないことが合田ら（1974）により報告されている。

2.3 スペクトル幅に関する統計量

スペクトル帯域の指標として、スペクトル幅パラメータ

表一1 シミュレーション条件(一方向)

設定波高	設定周期	設定水深	γ	ケース数
6.0(m)	8.0 s	10 m	1, 3.3, 7.0	10
		30 m		10
		10 m		10
4.0(m)		30 m		10

図-2 シミュレーション波形より算出したスペクトル
(a : 水深 10 m, b : 水深 30 m)

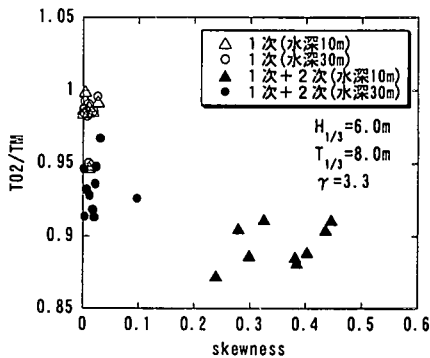
(2倍周波数成分)に顕著な2次の非線形成分が現れていることがわかる。このとき、skewness=0.38であった。一方、図-2bの非線形成分の増大があまり見られない設定水深30mの場合、skewness=0.03であり、skewnessが非線形性の強弱に対応して変動していることがわかる。このことから、線形波形、非線形性の強い波形(水深10m)、非線形性の弱い波形(水深30m)より算出した各統計量についてskewnessを中心に比較し、線形統計量と非線形性を考慮した統計量にどのような変化が現れるかを検討する。

4.2 一方向シミュレーション波形の統計解析

図-3にskewnessと T_{02}/T_M の関係の一例を示す。1次波形の場合、 T_{02}/T_M の平均値は0.98~0.99であり、Riceの理論値1.0(式(3))にかなり近い値をとるが、2次まで考慮した場合、skewnessが大きくなるにつれて、 T_{02}/T_M は1.0より小さくなっているのがわかる。これは、式(4)により、スペクトルから波の平均周期 T_{02} を求める際に、非線形性による高周波側のエネルギーの増大により、スペクトル2次モーメント m_2 が大きくなつたためである。一方、非線形性の弱い波形(水深30m)において、skewnessはあまり増大していないが、 T_{02}/T_M の減少は大きい。これは、図-2aのように高周波側に2倍周波数成分のピークが現れるような非線形性の強い波ではなくとも、図-2bのように、1次のパワーに2次のパワーが加わることによって、 T_{02}/T_M はRiceの理

表二 シミュレーション条件(多方向)

設定波高	6.0 m
設定周期	8.0 s
設定水深	10, 30 m
γ	3.3
S_{max}	10, 25, 75, 200
方向角分割数	32
ケース数	10

図-3 skewness と T_{02}/T_M の関係

論値1.0よりもかなり小さくなることを示している。 m_2 における非線形性の影響は T_{02}/T_M の算出に大きく影響することがわかる。

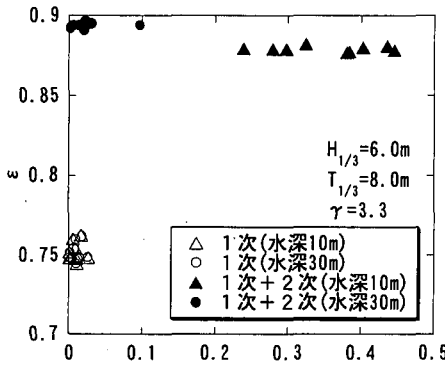
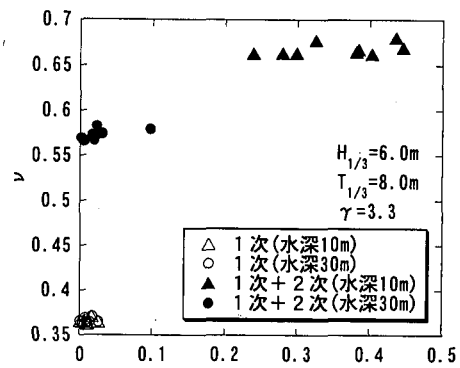
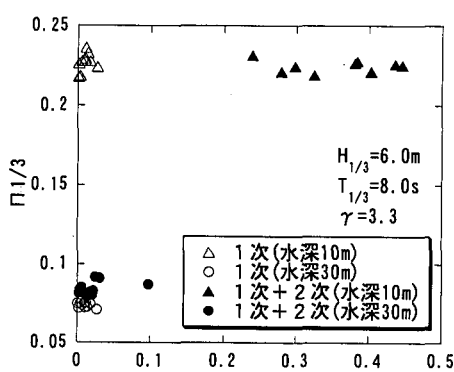
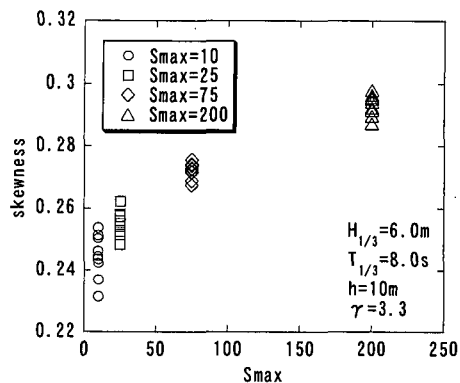
図-4a, bに1次波形と2次まで考慮した波形より算出されたskewnessとスペクトル幅パラメータ ϵ 、 ν (式(6a, b))の関係を示す。この図より、2次まで考慮すると、 ϵ 、 ν はともに1次の場合よりも値がかなり大きくなることがわかる。 ϵ 、 ν はスペクトルモーメントから計算されるため、 T_{02} と同様に非線形性の影響によるスペクトルの高周波側のエネルギーの増大によるものと考えられる。

図-5に1次波形と2次まで考慮した波形より算出されたskewnessと合田(1983)の提案した非線形性パラメーター $\Pi_{1/3}$ (式(2))の関係を示す。2次まで考慮した場合、skewnessが大きくなるにつれて $\Pi_{1/3}$ も大きくなつておらず、波の非線形性の傾向をよくとらえている。しかし、1次波形においても水深が浅い場合(10m)には、 $\Pi_{1/3}$ は大きくなっている。このことより、Godaの提案した非線形性パラメーター $\Pi_{1/3}$ は、非線形性の強弱に対応した変動を見せるが、一方では水深の影響を強く受けるということがわかる。

5. 方向分散の非線形性への影響

5.1 統計量への影響

方向分散を考慮した多方向非線形不規則波より算出さ

図-4a skewness と ϵ の関係図-4b skewness と ν の関係図-5 skewness と $\Pi_{1/3}$ の関係図-6 S_{\max} と skewness の関係

れた統計量において、1次波形の場合、最大集中度 S_{\max} が変化しても各統計量に変化は見られなかった。一方、2次まで考慮した波形の場合には、skewness の値に変化が見られた。図-6は2次まで考慮した場合の S_{\max} と skewness の関係を示している。 S_{\max} が大きくなるにつれて skewness が大きくなる、つまり方向分散が小さくなるにつれて非線形性が強まることがわかる。

5.2 風波データとの比較

図-7aは1章で述べた、加藤ら(1999)の解析結果であり、風波I(茨大、水路幅: 0.3 m)と風波K(港研、水路幅: 1.5 m)における $H_{1/3}$ と skewness の関係を示したものである。同じ $H_{1/3}$ に対する skewness は、風波Kよりも風波Iの方が大きいことがわかる。

図-7bは2次までの多方向非線形不規則波より算出された $H_{1/3}$ と skewness の関係を示したものである。この図より、 S_{\max} が大きくなるにつれて、skewness が大きくなっていることがわかる。図-8は2次まで考慮した多方向非線形不規則波の、 $S_{\max}=10$ と $S_{\max}=75$ におけるスペクトルの計算例を示したものである。この図より、2倍周波数成分のピーク値及び高周波側のエネルギーは、 $S_{\max}=75$ の場合に比べ、 $S_{\max}=10$ の場合には減少し

ていることがわかる。これは、 S_{\max} 小さくなる、つまり方向分散が大きくなるにつれて、非線形性は弱くなることを表している。風洞水路の風波は、水路幅が狭いほど方向分散が小さいと考えられるため、風洞水路の風波における非線形性の強さは水路幅に影響されるということがわかった。

6. 結論

本研究の主要な結論を以下に示す。

- (1) シミュレーション波形の結果において、スペクトルモーメントから求まる周期 T_{02} と波形から計算した平均周期 T_M の比 T_{02}/T_M は、波の非線形性が強くなると線形理論値 1.0 より減少することを示した。これは、非線形性の影響によりスペクトル 2 次モーメント m_2 が大きくなることが原因であることを確認した。
- (2) 非線形性を考慮した場合のスペクトル幅パラメーター ϵ 、 ν は、線形の場合と比較するとその値はかなり増大することを示した。 ϵ 、 ν はスペクトルモーメントから計算されるため、非線形性の影響によるスペクトルの高周波側のエネルギーの増大が原因であると考えられる。

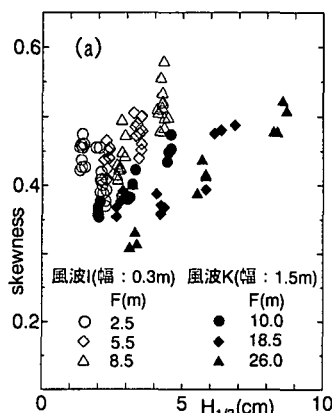


図-7 $H_{1/3}$ と skewness の関係
(a: 風洞水路, b: 多方向シミュレーション)

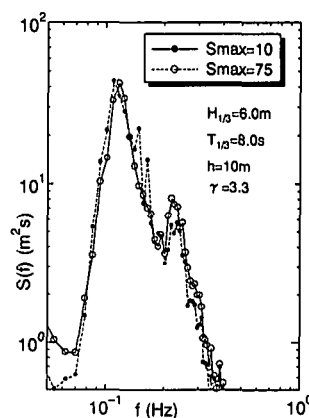
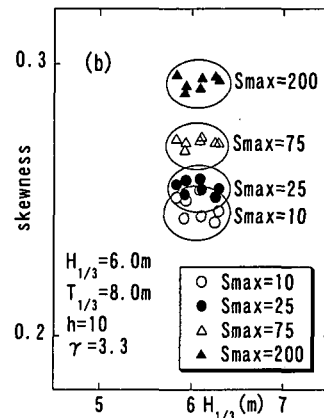


図-8 波形のスペクトル
(多方向シミュレーション)

- (3) Goda (1983) が波の非線形性を示す指標として提案した非線形パラメーター $\Pi_{1/3}$ は、非線形性の強弱に対応した変動を見せるが、一方では水深の影響を強く受けるということがわかった。
(4) 多方向非線形不規則波シミュレーションを用いて、方向分散が大きいほど波の非線形性が弱くなることを示した。この原因は、方向分散が大きくなるとスペクトルの 2 倍周波数成分のピーク値及び高周波側のエネルギーが減少するためである。風洞水路の風波は、水路幅が狭いほど方向分散が小さいと考えられるため、風洞水路の風波における非線形性の強さは水路幅に影響されることを明らかにした。

参考文献

- 角野 隆・閑野高志・梅沢一之 (1986): 浅海域における波浪特性に関する現地観測, 第34回海岸工学講演会論文集, pp. 149-153.
加藤 始・小高奈美・松本礼子他 (1999): 沿岸波浪のスペクトル統計量とそれに及ぼす波の非線形性の影響について, 海岸

- 工学論文集, 第46巻, pp. 221-255.
合田良實・永井康平 (1974): 波浪の統計的性質に関する調査・解析, 港研報告, 第13巻, 第1号, pp. 3-37.
合田良實 (1987): 数値シミュレーションによる波浪の標準スペクトルと統計的性質, 第34回海岸工学講演会論文集, pp. 131-135.
橋本典明 (1993): 波浪の多方向性と弱非線形性を考慮した水圧波から表面波への換算法について, 港研報告, 第32巻, 第1号, pp. 27-51.
Goda, Y. (1983): A unified nonlinearity parameter of water waves, Rept. PHRI., Vol. 22, No. 3, pp. 3-30.
Hasselmann, K. (1962): On the nonlinear energy transfer in a gravity-wave spectrum, Part 1, General theory, J. Fluid Mech., vol. 12, pp. 481-500.
Hudspeth, R. T. and M.-C. Chen (1979): Digital simulation of nonlinear random waves, J. of Waterway, Port, Coastal and Ocean Div., ASCE, Vol. 105, WW1, pp. 68-84.
Mitsuyasu, H. et al. (1975): Observation of the directional spectrum of ocean waves using a cloverleaf buoy, J. Physical Oceanography, vol. 5, pp. 750-760.
Tick, L. J. (1963): Nonlinear probability models of ocean waves, Ocean wave Spectra, Prentice-Hall, pp. 163-169.